

# Dynamique des fronts de réaction-diffusion.

Cours Ecole du mon linéaire.  
Leyres - Septembre 2007.

## But du cours -

Comprendre les phénomènes de propagation dans les équations de réaction-diffusion scalaires.

Ce type d'équation a la forme:

$$\frac{\partial u}{\partial t} - \Delta u + \mathbf{A}(x) \cdot \nabla u = f(x, u). \quad (1)$$

$t$ : variable temporelle.

$x$ : variable spatiale -

$u(t, x)$ : température, concentration (ondes chimiques), densité d'espèces (modèle des d'invasions biologiques) inconnue réelle.

Avant de donner plus précisément le champ d'application de ce type d'équation, ainsi que le type de question, donnons la propriété principale avec laquelle on va la faire: le ppeu du maximum.

Supposons qu'on résolve le pb de Cauchy pour  
(1) avec 2 données initiales:  
 $u_1(0, \cdot)$  et  $u_2(0, \cdot)$ .

Si  $u_1(0, \cdot) \leq u_2(0, \cdot)$  alors cet ordre est  
respecté tt au long de l'évolution, i.e.  
 $u_1(t, \cdot) \leq u_2(t, \cdot)$ .

(pourvu que l'équation ait des sol., mais  
ce sera tjs le cas ici et on ne s'embê-  
tera pas avec les pbs d'existence).

Cette propriété est vraie pour des é-  
quations scalaires et quelques systèmes  
très particuliers. Ceci restreint donc la  
classe de modèles qu'on peut regarder,  
mais cette propriété supplémentaire permet  
l'accès à des informations qualitatives  
globales, hors de tt cadre perturbatif.  
Il est même supposant de voir à quel  
point l'injection de cette info permet d'  
aller loin, et on s'en servira sans ver-  
gogne.

Domaines d'application des équations de  
réaction-diffusion.

- Théorie des flammes.  $u(t, \cdot)$  est

un champ de température,  $f(x, u) = f(u)$  est un terme de cinétique chimique censé représenter la la cinétique (vu de loin c'est assez vrai) et  $\mathbf{V}(x)$  un champ de vitesses imposé.

- Modèles en biologie et en écologie:  $u(t, x)$ : densité d'une espèce animale ou végétale ayant une propagation naturelle à se répandre, et on cherche à mesurer à quel rythme l'expansion a lieu. Sans entrer dans la modélisation :  $f(u)$  est le taux de naissance ; on suppose en plus que l'espèce diffuse.

Quand  $f$  est inhomogène (i.e. dépend de  $x$  de façon non triviale) ceci modélise des hétérogénéités de l'environnement ; en général la structure spatiale n'a aucun caractère périodique, quasi-périodique, etc.

Les modèles sont heuristiques mais sont souvent acceptés comme de bons modèles qualitatifs.

Question qui on se pose: comment représente-t-on la propagation ?

Dans les cas les plus simples : onde progressive,  
i.e. une sol. de la forme  
 $\varphi(x + c\vec{e}t)$ .

Toutefois quand il n'y a aucune structure  
spatiale, on voit bien que la notion n'est  
pas pertinente. On peut toutefois la généra-  
liser en la notion de front de transi-  
tion ; on voit que, au moins dans le  
cas des équations scalaires, c'est la bon-  
ne notion.

2. Est-ce que ces ondes représentent bien  
la dynamique ? Dans les équations de  
réaction-diffusion, il se trouve qu'elles sont  
très sympathiques, i.e. elles atteignent un  
général la dynamique. Nous verrons  
pourquoi ; c'est là encore dû au prin-  
cipe du maximum

Il y a toutefois des sournoiseries et  
nous examinerons (si le temps le permet)  
un modèle dans ce sens (i.e. un modèle  
de type KPP).

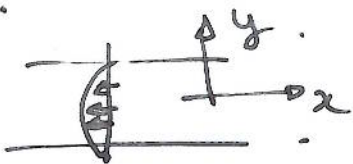
Plan du cours -

I] Outils mathématiques : formes et régu-  
larité.

II) Un modèle d'ondes progressives multi-D : existence et stabilité.

Présentation du modèle .

$$\Sigma = \mathbb{R} \times [-L, L].$$



$$V(x,y) = \begin{pmatrix} \alpha(y) \\ 0 \end{pmatrix}, \quad \operatorname{div} V = 0.$$

$$f(u) = u(u-\theta)(1-u); \quad 0 < \theta < \frac{1}{2}. \quad \text{Graph of } f(u) \text{ showing a curve from } 0 \text{ to } 1 \text{ with a local maximum.}$$

$$\begin{cases} \frac{\partial u}{\partial t} - \Delta u + \alpha(y) \frac{\partial u}{\partial x} = f(u). & (\Sigma) \\ \frac{\partial u}{\partial y} = 0 & (\mathbb{R} \times \partial \omega). \end{cases}$$

$$u(t, -\infty, y) = 0; \quad u(t_1 + \omega, y) = 1.$$

Ondes progressives :  $u(t, x, y) = \phi(x + ct, y).$

$$\begin{cases} -\Delta \phi + (c + \alpha(y)) \phi_x = f(\phi) & (\Sigma) \\ \phi_y(\pm L) = 0. \end{cases}$$

$$\phi(-\infty, y) = 0; \quad \phi(+\infty, y) = 1.$$

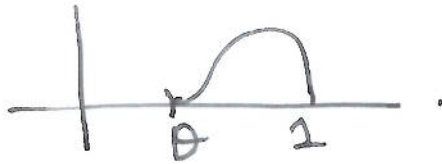
Nous allons montrer l'existence et l'unicité des ondes progressives, ainsi que leur stabilité globale.

NB. Pas a priori évident qu'un tel modèle puisse supporter une onde progressive.

III) Un modèle totalement inhomogène : front de transition .

## Réésentation du modèle :

Dimension 1 d'espace;  $V(x) = 0$ ,  $f(x, u) = a(x)f(u)$



$$\left\{ \begin{array}{l} \frac{\partial u}{\partial t} - \frac{\partial^2 u}{\partial x^2} = a(x)f(u) \\ u(+,-\infty) = 0; \quad u(+,\infty) = 1 \end{array} \right.$$

Bien entendu la notion d'onde progressive n'est pas pertinente. On ne peut pas injecter  $\phi(x+ct)$  dans le modèle. Nous examinerons par quoi remplacer cette notion.

## IV]. Ondes progressives multi-D de type KPP.

(il reste du temps!).

$$V(x, y) = \begin{pmatrix} \alpha(y) \\ 0 \end{pmatrix} \quad f(x, u) = f(u) = u(1-u).$$

En 1D l'équation devient  $\frac{\partial u}{\partial t} - \frac{\partial^2 u}{\partial x^2} = u(1-u)$

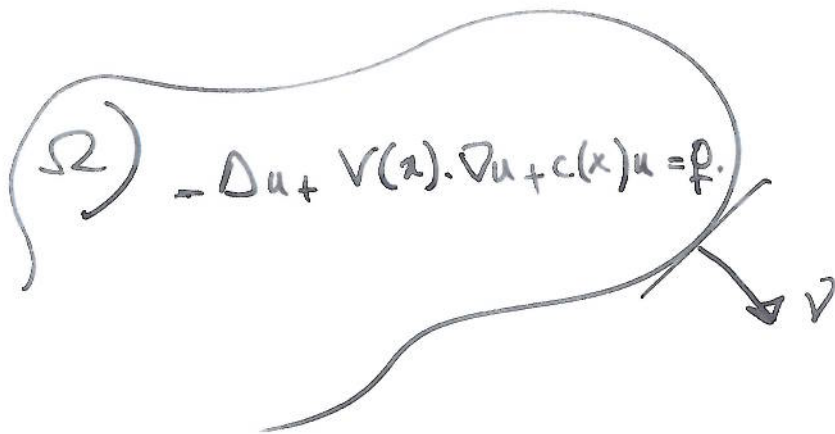
et le 1<sup>er</sup> papier mathématique sérieux est celui de Kolmogorov, Petrovskii, Piskunov.

⚠ L'ensemble des vitesses possibles est un intervalle.

Nous verrons comment généraliser ces résultats. Là encore, pas évident qu'il y ait des ondes!

## EJ. Utiles mathématiques.

### 1:). Principe du maximum elliptique.



Prop. (principe du max faible). On suppose :  
 $c(x) \geq 0$ ,  $\begin{cases} u(x) \geq 0 \\ \text{et } u_\gamma(x) = 0 \end{cases}$  sur  $\partial\Omega$ ,  $\lim_{|x| \rightarrow +\infty} u(x) \geq 0$ .  
 (si  $\Omega$  fini).

Alors  $u(x) \geq 0$  dans  $\Omega$ .

Th. (principe du max fort). On suppose :  
 $u \geq 0$  dans  $\Omega$  et  $u \not\equiv 0$ . Alors :

[i].  $u(x) > 0$  si  $x \in \Omega$ .

[ii]. Si  $x \in \partial\Omega$  et  $u(x) = 0$ , alors

$$\frac{\partial u}{\partial \nu}(x) < 0.$$

(lemme de Hopf)

$$\frac{\partial u}{\partial \nu}(x) < 0.$$

Remarque: pas d'hypothèse sur les coefficients signe

de  $\epsilon$ .

Ça n'a l'air de rien, mais on peut faire beaucoup de choses avec ça. Exemple : soit  $\phi(x, y)$  une onde progressive multi-dimensionnelle bistable.

$$\begin{cases} -\Delta u + \beta(y) u_x = f(u). & (\Sigma) \\ u_y(\pm L) = 0 & (R) \\ u(-\infty, y) = 0, \quad u(+\infty, y) = 1. \end{cases} \quad (*)$$

Th. (Berestycki-Nirenberg, 1990). Nous avons :

[i]  $0 < \phi < 1$ .

[ii]  $\frac{\partial \phi}{\partial x} > 0$  dans  $\Sigma$ .

[iii]. Il y a au plus un  $c$  tel que  
(\*) a une solution (non trivial)  
la connexion entre 0 et 1).

[iv]. Si  $c$  est tel que (\*) a une sol,  
cette sl. est unique aux trans-  
pôts.

Preuve. [i]. En exercice, examiner un max  
ou un min de  $u$ .

[ii]. On remarque que (\*) est invariante  
par translation ; 1<sup>ère</sup> idée : regarder  $\phi_x$ .

$$\begin{cases} -\Delta \phi_x + \beta(y) \partial_x \phi_x = f'(\phi) \phi_x = 0, \\ \phi_x(\pm \infty) = 0. \end{cases}$$

Problème :  $f'(\phi)$  n'a pas de signe constant

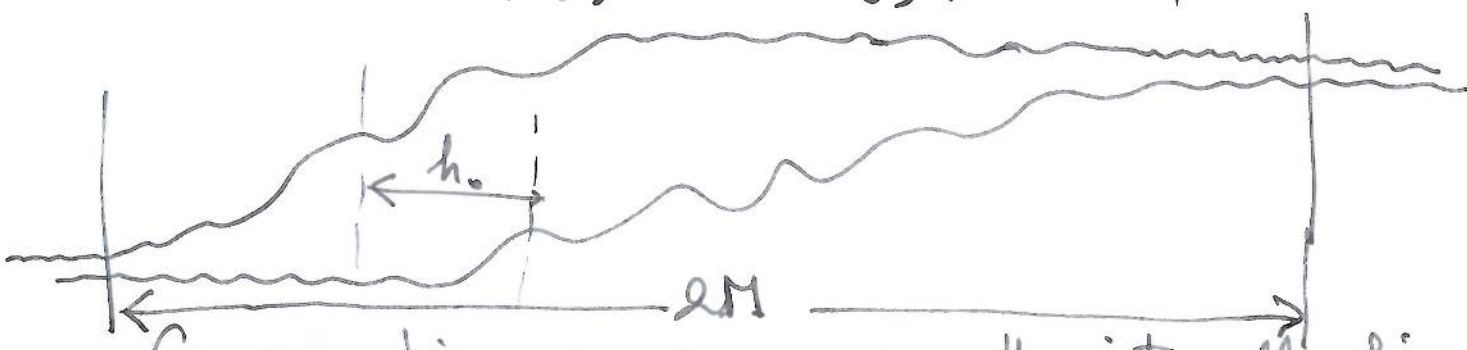
Par contre  $-f'(\phi) > 0$  au vois. de  $x = \pm \infty$ .

Deuxième idée : regarder des incrémentos

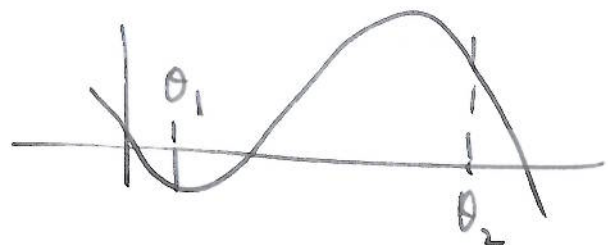
de  $\phi$  de la forme :  $\phi(x+h, y) - \phi(x, y)$ .

Etape 1 . Il existe  $h_0 > 0$  tel que

$$\phi(x+h_0, y) - \phi(x, y) > 0 \text{ dans } \Sigma.$$



Ça va bien se passer sur l'intervalle fini, mais il faut contrôler l'infini.



$$\theta_1 < \theta : f'(u) < 0 \text{ si } u \leq \theta_1,$$
$$\theta_2 > \theta : f'(u) < 0 \text{ si } u \geq \theta_2.$$

M tel que :  $x < -M \Rightarrow \phi(x, y) \leq \theta_1$ ,

$x \geq M \Rightarrow \phi(x, y) \geq \theta_2$ .

Sit  $h_0 > 0$  tel que

$$\phi(x+h_0, y) \geq \phi(x, y) \text{ si } -M \leq x \leq M.$$

$$\Omega_- = \{(x, y) : x < -M ; \phi(x, y) \leq \theta_1\}.$$

$$(-\infty, -H) \times (-L, L) = \Omega \cup \underbrace{\{x \leq -H, \phi(x, y) \geq 0\}}_{\text{peut-être vide}},$$

$$\phi(x+h_0, y) \geq \phi(x, y)$$

Dans  $\Omega_-$ :  $\Phi(x, y) = \phi(x+h_0, y) - \phi(x, y)$ .

$$\begin{cases} -\Delta \Phi + \beta(y) \Psi_x - f'(q_{x,y}) \Phi = 0 \\ \Phi(-H, y) > 0 \quad \text{sur } \Omega_- \cap \{-H\} \times [-L, L] \\ \Psi_y = 0 \quad \text{sur } \Omega_- \cap (-\infty, -H) \times [-L, L] \end{cases}$$

Donc  $\Phi \geq 0$ .

Conclusion:  $\phi(x+h_0, y) - \phi(x, y) \geq 0$ . Tbm si  
Etape 2.  $h \geq h_0$ .

$h_* = \inf \{h > 0 : \forall k \geq h, \phi(x+k, y) \geq \phi(x, y)\}$   
(on translate vers la droite).

- $h_* = 0$ : bingo.
- $h_* > 0$ : cherchons à montrer une contradiction.

Sur  $[-H, H] \times [-L, L]$  on a

$$\phi(x+h_0, y) - \phi(x, y) \geq q_H > 0$$

par le principe du max fort. En effet,  
sur  $[-\pi-1, \pi+1] \times [-L, L]$ :

$$-\Delta \Phi + \beta(y) \Psi_x - f'(\cdot) \Phi = 0.$$

$\psi \geq 0$ ; Si  $\psi(x_0, y_0) = 0$ :

- Il ne peut pas avoir  $(x_0, y_0) \in (-\pi-1, \pi+1) \times (-L, L)$
- Si  $y_0 = \pm L$  alors  $x_0 \notin [-\pi, \pi]$ . Sinon,  
 $\psi_y(x_0, y_0) \neq 0$ .

Donc  $\psi > 0$  sur  $[-\pi, \pi] \times [-L, L]$ . Et donc il existe  $\delta_0$  tel que

$$\phi(x+h_0 - \delta, y) - \phi(x, y) \geq 0 \text{ si } \delta \in [0, \delta_0].$$

- Par le même argument que plus haut:  
 $\psi \geq 0$  partout.

Contrad. avec la minimalité de  $h_0$ .

[iv]. Le même argument montre l'unicité de c. Soient  $c_2 \leq c_1$  deux vitesses possibles.  $\phi_1, \phi_2$ : deux solutions.

$$-\Delta(\phi_2 - \phi_1) + (c_1 + \alpha(y)) \frac{\partial}{\partial x} (\phi_2 - \phi_1) - f'(-)(\phi_2 - \phi_1) \\ = (c_1 - c_2) \partial_x \phi_2 \geq 0.$$

- Il existe  $h_0$  tel que  $\phi_2(x+h_0, y) \geq \phi_1(x, y)$ .
- $h_0 = \inf \{ h : \forall k \geq h, \phi_2(x+k, y) \geq \phi_1(x, y) \}$  -  
 $\phi_2(x+h_0) = \phi_1(x, y)$ .

## 2<sup>e</sup>). Régularité elliptique.

énorme industrie sur laquelle je ne m'étendrai pas. Je vais énoncer une version du paragraphe adapté à nos besoins.

V et c bonnes.

$$\text{I) } -\Delta u + V(x) \cdot \nabla u + c(x)u = 0$$

Th.

Supposons :  $0 \in \Omega$ ;  $B_1(0) \subset \Omega$ ,

$|u| \leq M$  dans  $B_1(0)$ . Il existe  $\lambda > 0$ , indépendant de  $u$ , tel que

$$|\nabla^2 u| \leq \lambda M$$

dans  $B_{1/2}(0)$ .

Supposons que  $(B_1(0) \cap \Omega) \geq \frac{1}{2}$ ,  $\partial\Omega \cap B_1(0) \neq \emptyset$ ;  $u_\gamma = 0$  sur  $\partial\Omega \cap B_{1/2}(0)$ . Le même

résultat est valable.

On peut bien évidemment montrer beaucoup plus, mais ça nous suffit réellement.

Consequence : Harnack elliptique.

Th.

Supposons  $B_1(0) \subset \Omega$ ,  $u \geq 0$  dans  $B_1(0)$ . Il existe  $\lambda > 0$  tel que

||

$$\| \inf_{B_{\frac{1}{4}}(0)} u \geq \sup_{B_{\frac{1}{2}}(0)} u.$$

On se rappelle que  $\inf u > 0$ , grâce au  $\max$  fort.

On a ce qu'il nous faut avec l'elliptique ; on se tourne maintenant vers le parabolique.

### 3°). Principe du maximum parabolique

(2)

$$u_t - \Delta u + V(t, x) \cdot \nabla u + c(t, x)u = 0 \\ (t > 0, x \in \Omega).$$

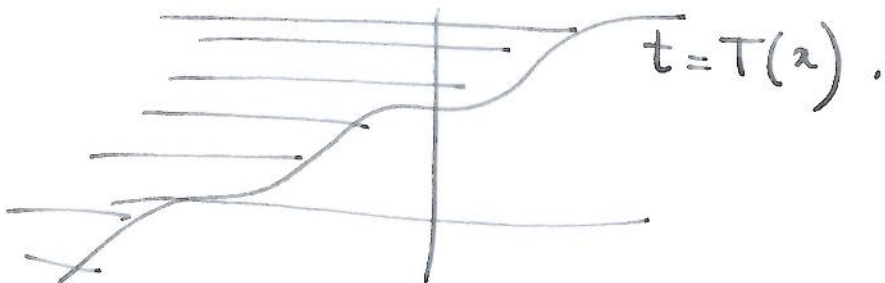
Th. (ppmax fort). On suppose :  $u(0, x) \geq 0$ ,  
 $\| u(t, x) \geq 0 \text{ si } x \in \partial\Omega\|. \text{ Alors } u(t, x) \geq 0$ .

Remarque : Pas d'hypothèse sur le signe de  $c$ .

Th. (ppmax fort). Supposons que  $c$  vérifie la même équation, sur  $[t_1, t_2] \times \Omega$  ~~on même~~  
~~sur un ensemble du type~~: Si  $u \geq 0$  et  $u \neq 0$ , alors  $u > 0$  sur  $(t_1, t_2) \times \Omega$ .

|| Si de plus  $(t_0, x_0)$  est tel que  $x_0 \in \partial\Omega$ ,  
 $u(t_0, x_0) = 0$  ( $t_1 < t_0 < t_2$ ) on a  $\partial_\nu u(t_0, x_0) < 0$ .

Remarque : résultat valable sur un domaine de la forme  $t_1 < t < t_2 ; x \leq T(x)$ .



Conséquence -  $\begin{cases} u_t - \Delta u + V(x) \cdot \nabla u = f(x, u) \\ u(0, x) = u_0(x) \end{cases}$ .  
 + conditions aux limites .

$$u_{10} \leq u_{20} \Rightarrow u_1 \leq u_2 .$$

#### 4°). Régularité parabolique .

Voici l'épit des théorèmes de régularité parabolique .

Th.  $u_t - \Delta u + V(t, x) \cdot \nabla u + c(t, x) u = 0$  .  
 $-1 \leq t \leq 1$ .

$$x \in B_1(0)$$

$|u| \leq M$  dans ce domaine . Alors  $\exists \gamma > 0$  :

$$\sup_{\substack{0 \leq s, t \leq 1 \\ x \in B_{1/2}(0)}} \frac{|u(t, x) - u(s, x)|}{(t-s)^{\gamma/2}} + \sup_{\substack{0 \leq t \leq 1 \\ x \in B_1(0)}} |\nabla u(t, x)| \leq 2M .$$

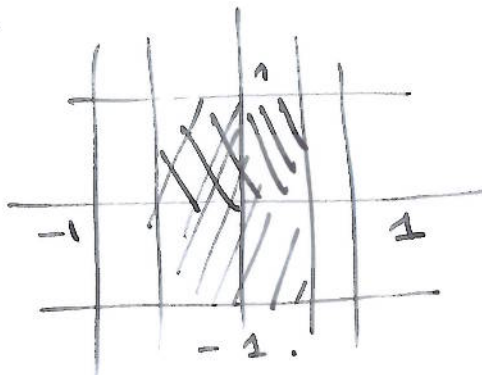
là encore, on peut trouver bien plus. Mais ça nous suffira amplement.

A quoi ça sert ?

Consequence 1. Harnack parabolique.

$u > 0$  sur  $[-1, 1] \times B_1(0)$ . Alors :

$$\inf_{\substack{0 \leq t \leq 1 \\ x \in B_{1/2}(0)}} u \geq \frac{1}{2} \sup_{\substack{-1 \leq t \leq 1 \\ x \in B_{1/2}(0)}} u .$$



Consequence 2. Comportement en temps grand.

Modèle thermo-diffusion multi-D.

$$x \rightarrow x + ct .$$

$$\begin{cases} u_t - \Delta u + (c + \alpha(y)) u_x = f(u) . (\Sigma) . \\ u_y(t, x, \pm l) = 0 . \end{cases} \quad (*)$$

Supposons :  $\exists x_1 < x_2$  tel que

$$\phi(x + x_2, y) \leq u(0, x, y) \leq \phi(x + x_1, y) .$$

$$\text{Alors } \phi(x + x_2, y) \leq u(t, x, y) \leq \phi(x + x_1, y) .$$

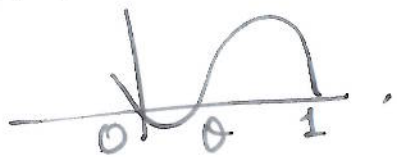
En particulier,  $u \in [0, 1]$ . Donc la suite  $(u(t, \cdot, \cdot))_{t \geq 0}$  est relativement compacte dans  $C([-R, R])$  pour tout  $R$  (Ascoli).

## II). Ondes progressives multi-dimensionnelles bi-stables

$$\begin{cases} u_t - \Delta u + \alpha(y) u_x = f(u) . \quad (2) \\ u_y(x, \pm L) = 0 \\ u(t, -\infty, y) = 0; \quad u(t, +\infty, y) = 1 \end{cases} \quad \text{graphe}$$

Existence et stabilité globale d'ondes progressives:  $\phi(x+ct, y)$ .

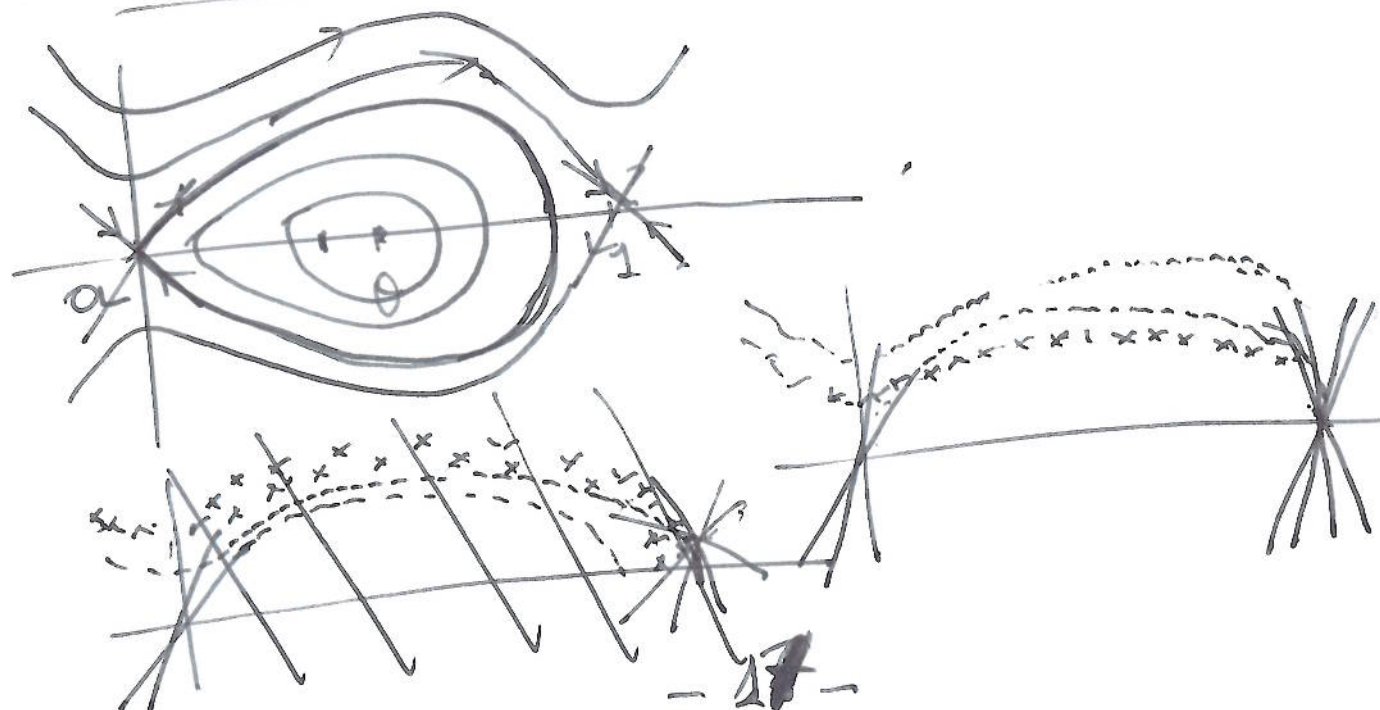
$$\begin{cases} -\Delta \phi + (c + \alpha(y)) \phi_x = f(\phi) . \quad (2) \\ \phi_y(x, \pm L) = 0 \\ \phi(-\infty, y) = 0; \quad \phi(+\infty, y) = 1 \end{cases} \quad (2)$$



Dimension 1 d'espace:

$$\begin{cases} -\phi'' + c\phi' = f(\phi) \\ \phi(-\infty) = 0; \quad \phi(+\infty) = 1 \end{cases}$$

Extrait de phases  $c = 0$ :



Donc ces 2 ondes vont faire pour se ren-  
contrer !

D'après Fife- Peletier, ces ondes sont globale<sup>t</sup>  
stables / au pb d'évolution :

$$u_t - u_{xx} = f(u) .$$

Th.  $\lim_{x \rightarrow -\infty} u(0, x) = 0 ; \lim_{x \rightarrow +\infty} u(0, x) = 1 .$

Il existe  $x_0 : |u(t, x) - \phi(x+ct+x_0)| \leq C e^{-wt} .$

Nous allons voir que ce th. se transmet à  
l'équation .

Th. 1. (Berebycki- Nirenberg, 92).  $\exists ! c$  tel  
que (2) a une solution .

Voir les propriétés qualitatives de  $\phi$  .

Th. 2. (R, 94).  $\lim_{x \rightarrow -\infty} u(0, x, y) = 0 ; \lim_{x \rightarrow +\infty} u(0, x, y)$

= 1 . Il existe  $x_0 :$

$$|u(t, x, y) - \phi(x+ct+x_0, y)| \leq C e^{-wt} .$$

1<sup>e</sup>). Ensemble  $w$ - limite .

Admettons le Th. 1.

•  $x \xrightarrow{a+ct}$  .

•  $u_0$ : donnée initiale pour (2). Supposons  
dans un 1<sup>e</sup> temps :  $\exists x_1 < x_2$

tel que  $\phi(x+x_1, y) \leq u_0(x, y) \leq \phi(x+x_2, y)$ .

Par conséquent  $\phi(x+x_1, y) \leq u(t, x, y) \leq \phi(x+x_2, y)$ .

$w(u_0) = \left\{ \psi \in C(\bar{\Sigma}) : \exists (t_n)_n \rightarrow +\infty, \lim_{n \rightarrow +\infty} u(t_n, x, y) = \psi(x, y) \text{ uniformément} \right\}$ .

Par régularité parabolique + bouli + le fait que  $u$  soit encadrée par 2 translatees de  $\phi$ :  $w(u_0)$  est non vide et compact dans  $C(\bar{\Sigma})$ . De plus:

$w(u_0)$  est invariant par l'évolution de (1), pour les  $t > 0$  et les  $t < 0$ .

Le résultat principal est la

prop. Il existe  $x_0 \in [x_1, x_2]$ :  $\phi(\cdot + x_0, \cdot) \in w(u_0)$ .

~~Déf.  $u(x, y) \in C(\bar{\Sigma})$ ;  $T_h u(x, y) \leq u(x+h, y)$ .~~

prop.  $w(u_0)$  est constitué d'ordres progressifs.

Existe. Ce résultat déroule de la proposition générale suivante.

prop.  $u(t, x, y)$ :  
|| - définie pour tout  $t \in \mathbb{R}$ .  
|| - coincée entre  $T_{x_1}\phi$  et  $T_{x_2}\phi$ .

Alors il existe  $x_0 \in [x_1, x_2]$  tel que :

$$u(t, x, y) = \phi(x + x_0, y).$$

Déuve. On fait comme Bersycki-Nirenberg, mais en dynamique. Soit  $h \in \mathbb{R}$ ,  $k \geq 0$ ; considérons :

~~$\nu_{h,k}(t+h, x+k, y) = u(t+$~~

$$\nu_{h,k}(t, x, y) = u(t+h, x+k, y) - u(t, x, y).$$

Nous cherchons à montrer :  $\forall h \in \mathbb{R}$ ,  $\forall k \geq 0$ :

$\nu_{h,k}(x, y) \geq 0$ . Ceci implique :  $\forall h \in \mathbb{R}$ ,

$$u(t+h, x, y) = u(t, x, y) \text{ soit } \partial_t u = 0.$$

Par Bersycki-Nirenberg,  $u$  = une translation de  $\phi$ .

Puisque  $T_{x_1} \phi \leq u \leq T_{x_2} \phi$ , nous avons :

~~$\nu_{h,k}(t, x, y) \geq 0 \text{ si } k \geq k_0 = x_2 - x_1.$~~

Soit  $k_0 = \inf \{ \bar{k} : \forall \bar{k} \geq k, \nu_{h,\bar{k}} \geq 0 \}$ .

Si  $k_0 = 0$ , bingo. Sinon, considérons  $H > 0$

tel que :

$$\begin{aligned} \forall x \leq -H, \quad u(t+h, x+k, y) &\leq \theta_1. \\ \forall k \leq k_0 \quad u(t, x, y) & \end{aligned}$$

$$\begin{aligned} \forall x \geq H, \quad u(t+h, x+k, y) &\geq \theta_2. \\ u(t, x, y) & \end{aligned}$$

La remarque pertinente est que : il existe  $r > 0$  tel que :  $\forall (t, x, y) \in \bar{\Sigma}$ ,

$$\sigma_{h,k}(t, x, y) \geq \delta.$$

Simon : il existe une suite  $(t_n)_n$  telle que

$$\sup_{\bar{\Sigma}} \sigma_{h,k}(t_n, x, y) \rightarrow 0.$$

Qu'il suffit à extraire une sous-suite, la suite  $(u(t_n + t, x, y))_n$  converge sur  $\bar{\Sigma}$  vers  $u_\infty(t, x, y)$  et nous avons :

$$u_\infty(t+k_0, x+k_0, y) = u_\infty(t, x, y).$$

$$\phi(x+x_1, y) \leq u_\infty(t, x, y) \leq \phi(x+x_2, y).$$

Impossible ! Donc on a bien le  $\gamma$ .

Harnack parabolique donne :

$$\sigma_{h,k_0}(t, x, y) \geq \frac{q_H}{H} \gamma$$

sur  $t \in [-H, H] \times [-L, L]$ .

Et donc, par le THA, il existe  $\delta_0$  tel que :

$$\forall \delta \leq \delta_0, \quad \sigma_{h,k_0-\delta} \geq \frac{q_H}{2} \gamma$$

sur  $\mathbb{R} \times [-H, H] \times [-L, L]$ .

Soit alors  $t_0 \in \mathbb{R}$ , et  $t \leq t_0$ .

Sur  $\bar{\Sigma} \setminus [-H, H] \times [-L, L]$ ,  $\sigma_{h,k}$  satisfait :

$$[\alpha_t - \Delta + \beta \partial_x - f'(\theta_{h,k})] \sigma_{h,k} = 0.$$

6<sub>1</sub>:  $\theta_{h,k} \in [\sigma_1, \sigma_2]$  sur  $[\theta_2, 1]$ .

Et donc  $\exists \lambda > 0$  tel que  $f'(\theta_{h,k}) \leq -\lambda$ .

On part de  $t = t_0 - n$ . La fonction

$$\underline{v}(t) = -A_0 e^{-\lambda(t-(t_0-n))}$$

veut vérifier

$$(\partial_t - \Delta + \beta \partial_x - f'(\theta_h)) \underline{v} \leq 0.$$

$$\underline{v}(t_0 - n) \leq v_{h,k}(t_0 - n, \cdot) \text{ sur } \tilde{\Sigma}_H.$$

$$\underline{v}(t) \leq v_{h,k}(t, \cdot) \text{ si } \begin{cases} x = \pm H \\ t \geq t_0 - n. \end{cases}$$

Conclusion:  $\underline{v}(t) \leq v_{h,k}(t_0, x, y)$  sur  $\tilde{\Sigma}_H$ .

$$-A_0 e^{-\lambda n}.$$

et donc  $v_{h,k}(t_0, x, y) \geq 0$  sur  $\tilde{\Sigma}_H$ .

Reste à montrer la convergence vers une seule  
ordre. Pour ce faire on utilise un résultat  
très classique de stabilité.

prop.  $X = C_0(\bar{\Sigma})$ .

$$L = -\Delta + \beta(y) \partial_x - f'(\phi).$$

$$[i]. N(L) = N(L^*) = \langle \partial_\alpha \phi \rangle.$$

$$[ii]. \sigma(L) = \text{Diagramme de Weyl}$$

$$[iii]. X = N(L) \oplus R(L)$$

Ceci entraîne, très clairement, l'existence de  
 $x_\infty$  tel que

$$|u(t, x, y) - \phi_\infty(x + x_\infty, y)| \leq C e^{-\omega t}.$$